

# طراحی کنترل کننده فازی برای کنترل وضعیت یک ربات پرنده چهار روتوره

حوری خدایاری<sup>۱</sup>، فرشاد پازوکی<sup>۲</sup>، علیرضا خدایاری<sup>۳</sup>، علیرضا غیاث<sup>۴</sup>

۱ دانشجوی دکتری مهندسی هوافضا، دانشگاه آزاد اسلامی، واحد علوم تحقیقات، تهران

۲ استادیار گروه مهندسی هوافضا، دانشگاه آزاد اسلامی، واحد علوم تحقیقات، تهران، paziooki\_fa@srbiau.ac.ir

۳ استادیار گروه مهندسی هوافضا، دانشگاه آزاد اسلامی، واحد علوم تحقیقات، تهران

۴ کارشناس ارشد مهندسی هوافضا، دانشگاه آزاد اسلامی، واحد علوم تحقیقات، تهران

تاریخ دریافت: ۱۳۹۴/۰۲/۱۹

تاریخ پذیرش: ۱۳۹۵/۰۳/۲۰

## چکیده

کنترل وضعیت پروازی ربات‌های پرنده دارای روتور، از جمله مسائلی است که در بهبود عملکرد این دسته از وسائل پرنده نقش مؤثری دارد. از جمله عوامل برهم‌زننده وضعیت ربات‌های پرنده روتوری می‌توان به اختشاشاتی که در خلال پرواز در زوایای پروازی وسیله پرنده ایجاد می‌شود اشاره کرد. طی سالیان گذشته، یکی از راههای اصلاح و بهبود این مشکل، استفاده از کنترل کننده‌های گوناگون است. در این مقاله ابتدا گونه‌ای از ربات‌های پرنده روتوری با عنوان کوادرورتورها معرفی می‌شوند. پس از مقایسه میان این نوع ربات‌پرنده و سایر وسائل پرنده و بررسی ساختار عملکردی آن، روند طراحی یک کنترل کننده فازی جهت کنترل وضعیت سیستم ربات ارائه می‌شود. در ادامه، شبیه‌سازی کوادرورتور مورد نظر در نرم‌افزار متلب انجام و نتایج حاصل از این شبیه‌سازی بیان شده است. در پایان مشاهده می‌شود که کنترل کننده فازی طراحی شده ضمن مقاوم‌بودن در برابر تغییر پارامترهای سیستم قادر به از بین بردن اختشاشات واردہ بر وضعیت پرواز آن در بهترین و کوتاه‌ترین زمان ممکن است.

**واژگان کلیدی:** کنترل کننده فازی، ربات پرنده، شبیه‌سازی، کوادرورتور، وضعیت پروازی

## ۱. مقدمه

تقسیم می‌شوند. وسائل پرنده بدون سرنشین با بال‌های روتوری به دلیل دستیابی به درجات بالاتر آزادی، پرواز با سرعت پایین‌تر، پروازهای متعادل و قابلیت پرواز در محیط‌های بسته برتری قابل توجهی نسبت به سایر انواع دارند. ربات‌های پرنده چهار روتوره یا کوادرورتها گونه‌ای از هوایی‌ماهی ای از بدون سرنشین هستند که ساختاری مشابه ساختار دینامیکی و پروازی بالگردها دارند، در حالی که بهجای استفاده از یک روتور متدالو دارای چهار روتور

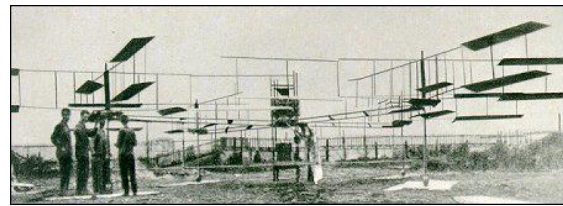
طی سال‌های گذشته، ربات‌های پرنده یا هوایی‌ماهی بدون سرنشین با توجه به حذف عامل انسانی، به عنوان وسائل پرنده با قابلیت‌ها و کاربردهای متنوع، بسیار مورد توجه قرار گرفته‌اند. از جمله انواع بسیار مهم و پرکاربرد هوایی‌ماهی ای بدون سرنشین، بالگردهای بدون سرنشین هستند که با توجه به قدرت نشست و برخاست عمودی خود، بسیار مورد توجه قرار دارند. بالگردهای بدون سرنشین به دو دسته کلی بال ثابت و بال از نوع روتور

های پرندۀ شامل تعداد زیادی از پارامترهای غیرخطی است، از اینرو روش‌های کنترل خطی غالباً ناتوان از تحلیل و کنترل این سیستم‌ها هستند. تاکنون پژوهش‌های گوناگونی در راستای طراحی کنترل‌کننده‌ها، برای کنترل کوادروتورها انجام شده است که از آن جمله می‌توان به طراحی مدلی از یک سیستم همراه با موتورهای DC و با استفاده از معادلات غیرخطی لیپانوف برای کنترل گردش کوادروتور توسط ماهونی اشاره کرد [۲]. بوعبدالله در پژوهش‌هایی جداگانه به مقایسه میان روش‌های کنترلی کلاسیک PD و PID و روش کنترلی مدرن LQ و یا کنترل بهینه تطبیقی بر سیستم یک ربات چهار روتوره پرداخته و همچنین روش‌های PID، LQR تطبیقی و روش لیپانوف را برای کنترل وسیله پرندۀ با هم مقایسه کرده است [۳-۴]. استفاده از روش بازخوردی و نصب دوربین‌هایی روی بدن ربات جهت تخمین هم‌زمان پارامترهای پروازی توسط آناتگ انجام شد [۵]. همچنین تربوچی با استفاده از روش‌های کنترلی مدرن از جمله روش کنترل شبکه عصبی به کنترل سیستم کوادروتور پرداخت [۶]. در این مقاله نیز با در نظر گرفتن یک سیستم غیرخطی از دینامیک کوادروتورها به طراحی یک کنترل‌کننده فازی برای کنترل وضعیت آن در حضور یک اغتشاش دلخواه پرداخته شده است. این کنترل‌کننده یک سیستم نرمال‌شده با سه ورودی و دو خروجی است که با در نظر گرفتن پنجتابع عضویت مثلثی برای هر ورودی کنترل‌کننده و با توجه به دامنه تغییرات هر یک از آنها، ضمن دستیابی به دقت بالا، کاهش محاسبات استنتاجی را منجر شده است. در ادامه یک شبیه‌سازی جامع برای بررسی کنترل‌کننده طراحی شده، با استفاده از کد تابع نوشته شده انجام و در پایان نتایج حاصل از شبیه‌سازی بررسی شده است.

## ۲. ساختار دینامیکی کوادروتور

کوادروتورها به عنوان شاخه‌ای پیشرفتی از هواپیماهای بدون سرنشین روتوری، با توجه به ساختار خود دارای برتری‌های قابل توجهی نسبت به سایر انواع وسائل پرندۀ هستند. در جدول ۱ مقایسه‌ای میان وسائل پرندۀ گوناگون و قابلیت‌های آنها آمده است. در این جدول برتری سیستم‌هایی همچون هلیکوپترها (سیستم‌هایی با قابلیت نشست و برخاست عمودی) و بالون‌های هواپی نسبت به سایر وسائل پرندۀ مشخص است. برتری این

در چهار گوشۀ بدنۀ خود می‌باشد. وجود این چهار روتور قابلیت هایی را در سیستم جلوبرندگی وسیله پرندۀ از جمله قابلیت حمل بار بیشتر، قدرت مانورپذیری بالاتر، توانایی پرواز در محیط‌های با موانع زیاد و برخاست در محیط‌های کوچک را فراهم می‌سازد و پرواز این وسائل پرندۀ از طریق تغییر در سرعت هر یک از این چهار روتور تنظیم و کنترل می‌شود. نخستین طرح موفق از یک ربات پرندۀ چهار روتوره در سال ۱۹۰۷ م، توسط برادران بروگئی<sup>۱</sup> به بهره‌برداری رسید. در شکل ۱ نخستین کوادروتور ساخته شده نمایش داده شده است.



شکل ۱. کوادروتور ساخته شده توسط در سال ۱۹۰۷ م

در ابتدا مهمترین کاربرد انواع کوادروتورها مصارف نظامی بود، اما طی سال‌های متمادی این گروه از هواپیماهای بدون سرنشین برای کاربردهای صنعتی و بازارگانی نیز مورد استفاده قرار گرفتند. این کاربرد همچنین مصارف کشاورزی، کاربردهای زمین‌شناسی و یا عملیات نجات را دربر می‌گیرد. در حال حاضر مهمترین مراکز ساخت کوادروتورها مراکز علمی و دانشگاهی است که امروزه بیش از پیش به دنبال دستیابی به راههای گوناگون جهت ارتقای عملکرد و پرواز این دسته از وسائل پرندۀ هستند. به عنوان مثال، شکل ۲ کوادروتور ساخته شده توسط دانشگاه استنفورد امریکا را نشان می‌دهد [۱].



شکل ۲. کوادروتور ساخته شده در دانشگاه استنفورد

یکی از مهمترین پارامترها در ارتباط با کوادروتورها توانایی کنترل پرواز این دسته از وسائل پرندۀ است. دینامیک این ربات

وسیلهٔ پرنده است [۷]. همان‌گونه که مشاهده می‌شود، عملکرد سیستم‌های با قابلیت نشست و برخاست عمودی نسبت به سایر وسائل پرنده بیشتر است.

وسائل پرنده از جمله در قابلیت پرواز عمودی، قابلیت کنترل و نیز قابلیت در پرواز با سرعت پایین است. در این جدول هرچه عدد اختصاص داده شده بالاتر باشد، نشان‌دهنده عملکرد بهتر

جدول ۱. مقایسه عملکرد وسائل پرنده گوناگون

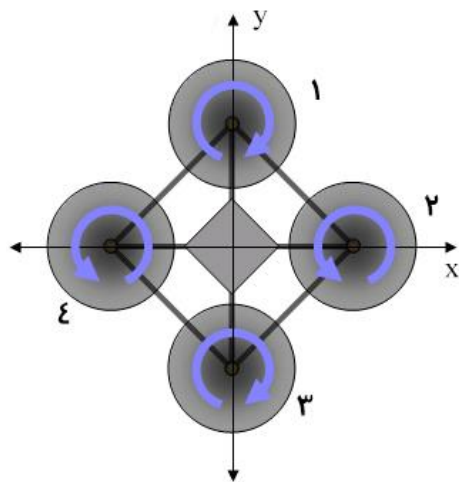
	هوایپما	هلیکوپتر	پرنده	اتوایرو	بالون هوایی
توان	۲	۱	۱	۲	۳
قابلیت کنترل	۲	۱	۱	۲	۳
حجم بار قابل حمل	۳	۲	۲	۲	۱
مانورپذیری	۲	۳	۳	۲	۱
درجه آزادی	۱	۳	۳	۲	۱
پرواز متعادل	۱	۳	۲	۱	۳
پرواز با سرعت پایین	۱	۳	۲	۲	۳
قابلیت نشست و برخاست عمودی	۱	۳	۲	۱	۳
مداومت پروازی	۲	۳	۲	۱	۳
پرواز در محیط‌های بسته	۱	۳	۲	۱	۲
جمع	۱۶	۲۵	۲۰	۱۶	۲۳

داده شده است. سرعت حرکت روتورهای مقابله هم از لحاظ کمی در حالت شناوری کوادروتور با یکدیگر برابر است و هر گونه اختلال در این برابری با توجه به شرایط منجر به ایجاد گشتاورهایی در خلال پرواز این پرنده می‌شود. با توجه به این نکته می‌توان گفت کوادروتور وسیلهٔ پرنده‌ای با ۶ درجه آزادی است که با توجه به ساختار آن با حل دینامیک کوادروتور برای ۴ حرکت پایه‌ای آن شامل پیشران دسته‌گاز، غلت، فراز و سمت می‌توان مشخصه‌های اساسی این ربات را تحت کنترل درآورد. شکل ۴ فرمان پیشران دسته‌گاز را برای ربات پرنده ۴ روتوره نمایش می‌دهد، همانطور که در شکل مشخص است این فرمان با افزایش و یا کاهش همزمان سرعت تمامی ملخ‌ها ایجاد می‌شود. این فرمان همچنین منجر به دستیابی به یک نیروی عمودی در سیستم بدنه ثابت می‌شود که کوادروتور را بالا و یا پایین می‌برد. در شکل ۵ نمایش حرکت غلت ربات چهار روتوره نمایش داده شده است. این فرمان با افزایش یا کاهش سرعت

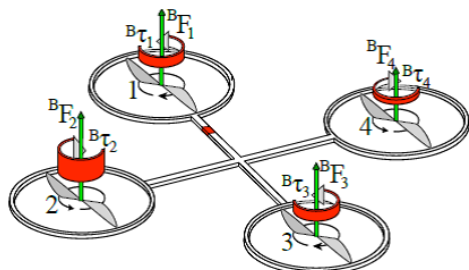
حرکت یک کوادروتور با ایجاد یک برش جانبی به معنای در نظر گرفتن یک صفحه با ۴ روتور می‌توان به درستی مدلسازی می‌شود [۸]. هر پروانه توسط دندنهایی به موتور متصل است و تمامی محورهای دورانی پروانه‌ها به صورت موازی و نیز کاملاً ثابت‌شده قرار دارند. تیغه‌های موازی جریان هوایی رویه پایین را برای دستیابی به بیشینه برآ ایجاد می‌کنند. این ساختار حاکی از آن است که یک کوادروتور را بطور تقریبی می‌توان به صورت یک جسم صلب در نظر گرفت و نشان داد که مهمترین پارامتر در حرکت یک کوادروتور سرعت حرکت پرمهای روتورهای ساختار برش خورده کوادروتور ملخ‌های جلو و عقب حرکت پادساعتگرد دارند، حال آنکه ملخ‌های جانبی به صورت ساعتگرد حرکت می‌کنند. این نوع حرکت نیاز به وجود یک روتور در انتهای بدنه وسیلهٔ پرنده - چنانچه در بیشتر بالگردانهای متداول نیز دیده می‌شود - را از بین می‌برد. در شکل ۳ ساختار کلی کوادروتور در حالتی که سرعت چهار ملخ با هم برابر است نمایش

منجر می‌شود و قدرت گردش پرنده را فراهم می‌کند.

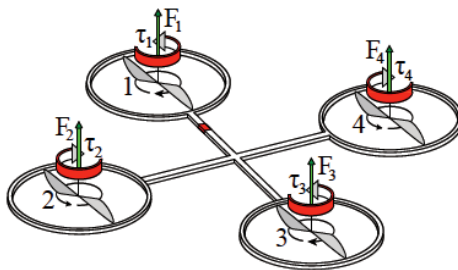
دو ملخ جانبی پدید می‌آید و به ایجاد یک گشتاور حول محور x



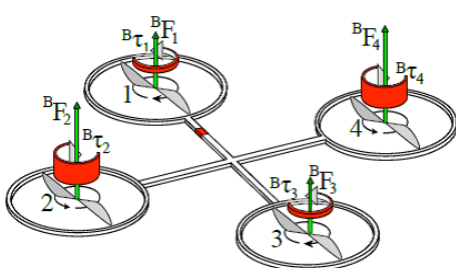
شکل ۳. نحوه حرکت ملخ‌های یک ربات چهار روتوره



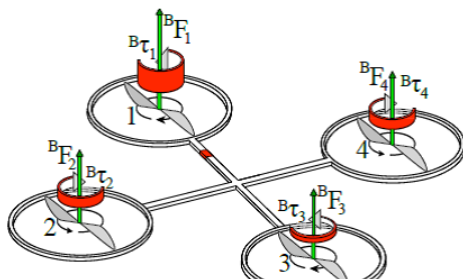
شکل ۵. حرکت غلت



شکل ۴. حرکت پیشان دسته‌گاز



شکل ۷. حرکت سمت



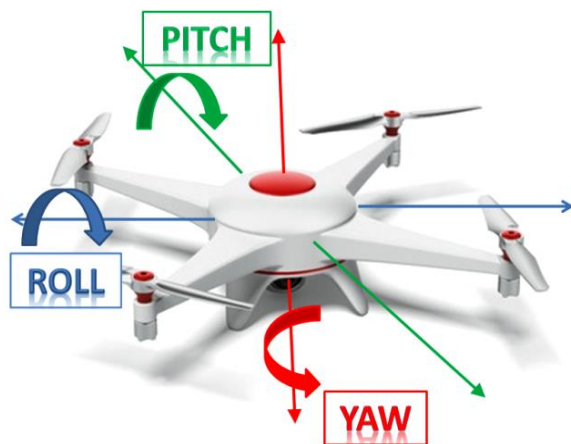
شکل ۶. حرکت فراز

جانبی کوادروتور ایجاد و منجر به ایجاد یک گشتاور حول محور z می‌شود که در نتیجه آن کوادروتور قادر به گردش خواهد بود. حرکت سمت با توجه به اینکه ملخ‌های جلو و عقب کوادروتور حرکت ساعتگرد و ملخ‌های جانبی حرکت پاد ساعتگرد دارند ایجاد می‌شود. مجموع این حرکات برای کوادروتور به صورت شکل ۸ نمایش داده می‌شود. معادلات حرکت ربات پرنده چهار روتوره به عنوان یک جسم صلب شامل ۱۲ معادله حرکت است

شکل ۶ حرکت فراز کوادروتور را نمایش می‌دهد. این فرمان بسیار مشابه فرمان قبل است، با این تفاوت که با افزایش یا کاهش سرعت در ملخ جلویی و عقبی (۲ و ۴) ایجاد منجر به ایجاد یک گشتاور حول محور y می‌شود که کوادروتور با استفاده از آن قادر به گردش خواهد شد. شکل ۷ نیز نمایش فرمان حرکت سمت برای ربات چهار روتوره است. این فرمان با افزایش یا کاهش سرعت ملخ‌های عقبی - جلویی و یا دو ملخ

در نظر گرفته شده در ارتباط با این کوادروتور که در این مقاله نیز مورد استفاده قرار گرفته‌اند، عبارت‌اند از:

که ۶ معادله از این ۱۲ معادله مربوط به سرعت و ۶ معادله دیگر مربوط به شتاب کوادروتور در خلال پرواز آن می‌شود. فرض‌های



شکل ۸ حرکات غلت، فراز و سمت کوادروتور

سیستم موتور بخار در سال ۱۹۷۵ م توسط ممدانی و اصلیان مورد استفاده قرار گرفتند [۱۲]. کنترل‌کننده فازی براساس منطق و اندیشه انسان پایه‌بریزی می‌شود و سعی می‌کند رفتاری مشابه آنچه انسان خبره بهنگام کنترل یک سیستم انجام می‌دهد، نشان دهد. در واقع طراحی کنترل‌کننده فازی به معنای بهدست آوردن مجموعه‌ای از قواعد اگر – آنگاه فازی با استفاده از دانش انسان خبره و دستورالعمل‌های موجود است. در طراحی یک کنترل‌کننده فازی نکته مهم دقت در انتخاب این قواعد و قوانین است که با در دست داشتن اطلاعات مربوط به رابطه میان ورودی‌ها و خروجی‌های سیستم انجام می‌گیرد. در ارتباط با سیستم مورد نظر این مقاله، همان‌طور که پیش از این نیز اشاره شد، تلاش در از بین بردن اغتشاشات واردہ بر حرکات بنیادی کوادروتور از اهمیت بسیار بالایی در خلال پرواز این پرنده برخوردار است. از این‌رو، با توجه به قابلیت‌های بالای کنترل‌کننده فازی در کنترل سیستم‌های غیرخطی طراحی یک کنترل‌کننده فازی برای کنترل زوایای حرکتی ربات پرنده چهار روتوره مدنظر قرار می‌گیرد. کنترل‌کننده فازی طراحی شده برای سیستم ربات چهار روتوره نیز مانند سایر کنترل‌کننده‌های فازی شامل چهار قسمت است که عبارت‌اند از فازی‌ساز، پایگاه قواعد، موتور استنتاج و غیرفازی‌ساز. جهت طراحی کنترل‌کننده فازی از یک سیستم نرم‌ال شده با سه ورودی و دو خروجی استفاده می‌شود که ورودی‌های سیستم عبارت‌اند از زوایای رول، پیچ و یاوه

۱. کوادروتور در حالت شناور حول نقطه تعادل آن بررسی می‌شود
۲. پرواز کوادروتور در یک محیط بسته در نظر گرفته شده است
۳. در حالت شناوری شتاب واردہ بر کوادروتور صفر است
۴. کوادروتور حول صفحات  $yz$  و  $xz$  متقاضن است
۵. کوادروتور به عنوان جسم صلب در نظر گرفته شده است
۶. از آثار فلپ روتورها صرف‌نظر شده است
۷. همه موتورها یک ثابت زمانی دارند
- معادلات حرکت با استفاده از روش نیوتن - اولر به دست می‌آیند [۱۰-۹]. با بررسی دینامیک حرکت ربات چهار روتوره و بررسی آثار نیروها و گشتاورهای مؤثر بر کوادروتور با در نظر گرفتن فرض‌های موجود می‌توان معادلات مربوط به شتاب‌های خطی و زاویه‌ای و همچنین رابطه میان سرعت روتورهای کوادروتور را به دست آورد. خصوصیات کوادروتور مورد استفاده در جدول ۲ ذکر شده است [۱۱]. پس از به دست آوردن مدل دینامیکی از کوادروتور انجام عملیات شبیه‌سازی بر روی این سیستم و طراحی و اعمال کنترل‌کننده ممکن خواهد بود.

**۳. طراحی کنترل‌کننده فازی**  
سیستم‌های فازی برای نخستین بار در سال ۱۹۶۵ م توسط پروفیسور زاده معرفی شدند و پس از آن برای اولین بار در کنترل

شده برای کوادروتور، یک برنامه جامع شبیه‌سازی تدوین شده است. این برنامه پس از دریافت زمان لازم برای شبیه‌سازی، مقادیر مربوط به سرعت روتورها در جهت از بین بردن اختشاش ایجادشده در زاویهٔ رل کوادروتور را تنظیم می‌کند. پس از شبیه‌سازی و با اعمال شرایط ورودی و اختشاش مورد نظر بر سیستم ربات چهار روتوره برسی عملکرد کنترل کنندهٔ طراحی شده در ارتباط با زوایای اصلی پروازی کوادروتور امکان‌پذیر است. پاسخ سیستم برای زاویهٔ غلت کوادروتور مطابق شکل ۱۱ است.

جدول ۳. قوانین استنتاجی کنترل کنندهٔ فازی

	LN	N	Z	P	LP
LN	XL	XL	XL	XL	L
N	XL	XL	XL	L	S
Z	XL	XL	L	S	M
P	XL	L	S	M	XS
LP	L	S	M	XS	XS

همان‌گونه که مشاهده می‌شود، کنترل کننده در حضور اختشاشی به میزان ۱۰° رادیان در زاویهٔ اولر  $\phi$  به کوادروتور اعمال شده است و پاسخ این سیستم برای کنترل این زاویه از سرعت بسیار بالایی برخوردار است و اختشاش ایجادشده به صورت هموار و بسیار مناسب از بین رفته است. کنترل زاویهٔ فراز نتیجهٔ اعمال کنترل کننده به صورت شکل ۱۲ است. همان‌طور که مشاهده می‌شود، میزان اختشاش در ابتدای اعمال کنترل کننده با شیب نسبتاً زیادی روبه افزایش است، اما در مدت زمانی در حدود ۱۰ ثانیه پس از آغاز این اختشاش به صورت کامل از بین می‌رود. در ارتباط با زاویهٔ سمت کوادروتور نیز نتیجهٔ حاصل از اعمال کنترل کنندهٔ فازی به صورت شکل ۱۳ است و این اختشاش نیز با اعمال کنترل کننده با سرعت مناسبی خطای ایجادشده روبه کاهش گذاشته و در مدت زمان حدود ۸ ثانیه پس از آغاز اختشاش به صورت کامل از بین می‌رود.

کوادروتور [۱۳]. توابع عضویت در کنترل کنندهٔ فازی طراحی شده به منظور دستیابی به پاسخ هموارتر و حداقل تعداد محاسبات در هر لحظه برابر پنجتابع عضویت مثلثی می‌باشد که برای ورودی زوایای پروازی به صورت LP و P و Z و N و LN هستند. همچنین جهت ساده‌تر شدن محاسبات حد اشباع برای عملگرها در انجام شبیه‌سازی عملیات مفروض در نظر گرفته شده است. خروجی‌های سیستم شامل سرعت روتورهای کوادروتور است که به جهت برابری سرعت روتورهای مقابل هم، که قبلاً نیز به آن اشاره شد، تعداد خروجی‌ها به دو خروجی تقسیم می‌یابد. توابع عضویت برای متغیرهای خروجی نیز به صورت XL و L و M و S و XS در نظر گرفته می‌شود.

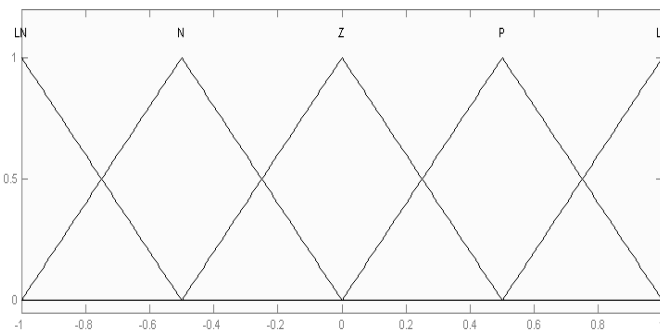
جدول ۲. خصوصیات کوادروتور مورد استفاده

پارامتر	مقدار
وزن	۳۲۰ گرم
طول بلید	$13 \times 10^{-4}$ نیوتن متر مربع بر دور مربع
ممان اینرسی در راستای محور x	۰/۰۰۳۲ کیلوگرم متر مربع
ممان اینرسی در راستای محور y	۰/۰۰۳۲ کیلوگرم متر مربع
ممان اینرسی در راستای محور z	۰/۰۰۱۸ کیلوگرم متر مربع
سرعت روتور	۴۷۴ دور بر دقیقه

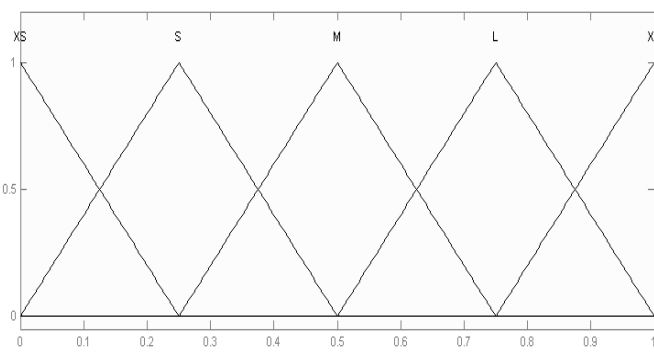
در تنظیم قسمت فازی‌ساز این سیستم از روش مرکز سطح استفاده می‌شود و موتور استنتاج مورد استفاده نیز بر پایهٔ روش ممداňی عمل می‌کند. قوانین مربوط به کنترل کنندهٔ طراحی شده باید به گونه‌ای طراحی شوند که بتوانند با تنظیم صحیح سرعت روتورها اختشاشات ایجادشده در وضعیت کوادروتور، که ناشی از ایجاد میزان ۱۰° رادیان اختشاش در زاویهٔ رول است، را از بین ببرند. نمونه‌ای از قوانین استنتاجی برای سیستم مورد بررسی در حضور زوایای غلت و فراز کوادروتور و در حالت عدم حضور زاویهٔ سمت در قالب جدول ۳ آورده شده است. توابع عضویت ورودی برای کنترل زوایای پروازی در شکل ۹ نمایش داده شده است. همچنین توابع عضویت خروجی‌های کنترل کننده نیز همانند قبل و به صورت شکل ۱۰ به دست خواهد آمد.

## ۴. شبیه‌سازی و بررسی نتایج

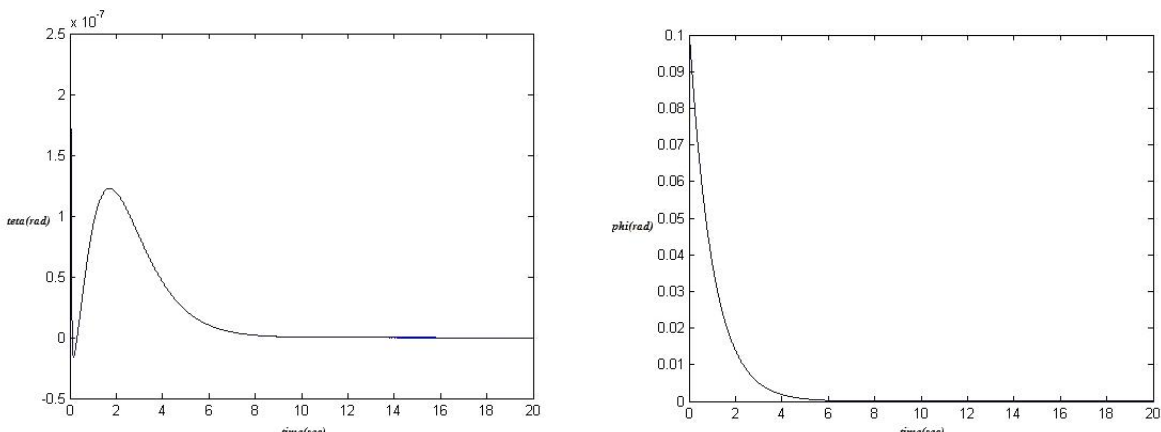
پرواز کوادروتور در کنترل وضعیت آن با استفاده از نرم‌افزار متلب شبیه‌سازی شده است. برای بررسی عملکرد کنترل کنندهٔ طراحی



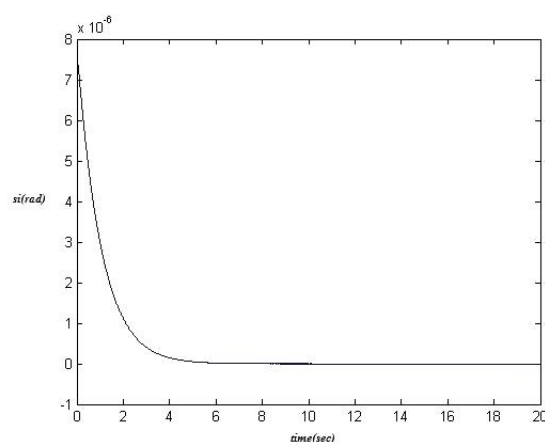
شکل ۹. توابع عضویت فازی نرمال برای زوایای غلت، فراز و سمت کوادرورتور



شکل ۱۰. توابع عضویت فازی نرمال برای خروجی موتورهای کوادرورتور



شکل ۱۱. پاسخ سیستم برای تغییرات زاویه غلت با استفاده از کنترل کننده فازی



شکل ۱۲. پاسخ سیستم برای تغییرات زاویه سمت با استفاده از کنترل کننده فازی

## ۵. نتیجه‌گیری

چهار روتوره در حضور یک اغتشاش دلخواه حول نقطه شناوری بالگرد به آن اعمال شد و نتایج حاصل از عملکرد کنترل‌کننده مورد بررسی قرار گرفت. نتایج حاصل از بررسی شبیه‌سازی‌ها نشان می‌دهد که علاوه بر بهبود وضعیت کوادراتور در حضور کنترل‌کننده فازی، بهره‌برداری از آن می‌تواند خطاهای مربوط به پارامترهای گوناگون سیستم را به سمت صفر همگرا کند.

در این مقاله پس از بحث و معرفی شاخه‌ای پیشرفته از انواع بالگردها تحت عنوان کوادراتورها، استخراج یک مدل دینامیکی غیرخطی از این سیستم‌ها انجام و پس از آن روند طراحی کنترل‌کننده فازی با توجه به قابلیت این کنترل‌کننده در کنترل سیستم‌های غیرخطی برای این بالگرد تشریح شد. در ادامه، کنترل‌کننده طراحی‌شده جهت کنترل زوایای اصلی پروازی ربات

## ۶. مأخذ

- [1] Hoffmann, Gabriel M., Haomiao Huang, Steven L. Waslander, and Claire J. Tomlin. "Quadrotor helicopter flight dynamics and control: Theory and experiment." In *Proc. of the AIAA Guidance, Navigation, and Control Conference*, vol. 2, p. 4. 2007.
- [2] Pounds, Paul, Robert Mahony, Joel Gresham, Peter Corke, and Jonathan M. Roberts. "Towards dynamically-favourable quad-rotor aerial robots." In *Proceedings of the 2004 Australasian Conference on Robotics & Automation*. Australian Robotics & Automation Association, 2004.
- [3] Bouabdallah, Samir, Andre Noth, and Roland Siegwart. "PID vs LQ control techniques applied to an indoor micro quadrotor." In *Intelligent Robots and Systems, 2004. (IROS 2004). Proceedings. 2004 IEEE/RSJ International Conference on*, vol. 3, pp. 2451-2456. IEEE, 2004.
- [4] Bouabdallah, Samir. "Design and control of quadrotors with application to autonomous flying." PhD diss., Ecole Polytechnique Federale de Lausanne, 2007.
- [5] Altug, Erdinc, James P. Ostrowski, and Robert Mahony. "Control of a quadrotor helicopter using visual feedback." In *Robotics and Automation, 2002. Proceedings. ICRA'02. IEEE International Conference on*, vol. 1, pp. 72-77. IEEE, 2002.
- [6] Dunfied, J., M. Tarbouchi, and G. Labonte. "Neural network based control of a four rotor helicopter." In *Industrial Technology, 2004. IEEE ICIT'04. 2004 IEEE International Conference on*, vol. 3, pp. 1543-1548. IEEE, 2004.
- [7] Bouabdallah, Samir, Pierpaolo Murrieri, and Roland Siegwart. "Design and control of an indoor micro quadrotor." In *Robotics and Automation, 2004. Proceedings. ICRA'04. 2004 IEEE International Conference on*, vol. 5, pp. 4393-4398. IEEE, 2004.
- [8] Bresciani, Tammaso. "Modelling, identification and control of a quadrotor helicopter." *MSc Theses* (2008).
- [9] Pounds, Paul, Robert Mahony, and Peter Corke. "Modelling and control of a quad-rotor robot." In *Proceedings Australasian Conference on Robotics and Automation 2006*. Australian Robotics and Automation Association Inc., 2006.
- [10] Goela, S., Gupta, A. "Modelling, Simulation and Flight Testing of an Autonomous Quadrotor." Department of Aeronautics and Astronautics, MIT, USA, 2009.
- [11] Kivrak, Arda Özgür. *Design of Control Systems for a Quadrotor Flight Vehicle Equipped with Internal Sensors*. Atılım Üniversitesi, 2006.
- [12] غفاری، ع. سیستم‌های دینامیکی و کنترل، تهران: دانشگاه خواجه نصیرالدین طوسی، ۱۳۷۴.
- [13] خدایاری، ح. "طراحی سیستم کنترلی فازی بهینه با استفاده از روش رگولاتور مربعی خطی برای یک کوادراتور"، پایان‌نامه کارشناسی ارشد، دانشگاه آزاد اسلامی واحد علوم تحقیقات، ۱۳۹۲.

## پی‌نوشت